

استخدام طريقة تصفيية الجسيمات لنماذج ماركوف المخفية مع التطبيق

Using Particle Filtering for Hidden Markov models with application

أ.د. مهند فائز كاظم السعدون

Prof. Dr. Muhannad F Al-Saadony
 Muhannad.alsaadony@qu.edu.iq
 جامعة القادسية/ كلية الادارة والاقتصاد
 Al-Qadisiyah University / College of
 Administration and Economics

م.د. انصاف جاسم مهدي

Ass.Lec. Ansaf J. Mahdi
 ansaf.j@uokerbala.edu.iq
 جامعة كربلاء/ كلية الادارة والاقتصاد
 Kerbala University / College of
 Administration and Economics

المستخلص:

يتضمن هذا البحث دراسة نماذج ماركوف المخفية الذي شهد اهتماماً واسعاً من قبل الباحثين والدارسين والتطبيقات الحديثة ، اذ تعتبر كمجموعة منتهية من الحالات ، التي تكون فيها الحالات مرتبطة بتوزيع احتمالي معين يهدف هذا البحث الى تقدير معلمات انموذج CIR و SABR باستعمال الطرائق البيزية في التقدير وفقاً لأسلوب تصفيية الجسيمات particle filtering. وقد استعرض في هذا البحث نماذج ماركوف المخفية وطرائق مقدرات بيز واحدى الطرائق الأساسية التي تستخدم في مقدرات بيز التي هي طريقة تصفيية الجسيمات (particle filtering). اذ تناول الجانب العملي لهذا البحث جانبياً وهما الجانب التجريبي والجانب التطبيقي ، ففي الجانب التجريبي تم استعمال طريقة تصفيية الجسيمات في تجربة المحاكاة ولثلاث مستويات من العينات (صغيرة ومتوسطة وكبيرة) وبأحجام مختلفة ، وذلك عن طريق تحديد اقل قيمة لمشاهدة نموذج CIR وبأوقات زمنية مختلفة ، بالإضافة الى تحديد القيمة الاولية ، وتحديد او انشاء الخطأ العشوائي من توزيع معين ، وحساب تقديرات معلم نموذجي CIR و SABR بالاعتماد على طريقة الامكان الاعظم في تحديد معلمات النموذج (σ, β, α) وذلك لبناء او توليد عمليات عشوائية ذات متغيرات عشوائية تتبع التوزيع الطبيعي العادي ، ومن ثم رسم هذه المتغيرات المتولدة برسوم او اشكال بيانية للحصول على افضل النتائج، فضلاً عن الجانب التطبيقي تم تطبيق الجانب العملي التطبيقي على البيانات المالية لسوق العراق للأوراق المالية لسنوات مختلفة . اذ توصلت الدراسة الى ان عمليات التقلب في تصفيية الجسيمات Partical filtering لتقدير عملية CIR و SABA بقيت دائماً اكبر من الصفر الذي هو يعتبر الشرط الاساسي للتقدير.

الكلمات المفتاحية: تصفيية الجسيمات ، نماذج ماركوف المخفية.

Abstract: This research includes the study of hidden Markov models, which has witnessed wide interest by researchers, scholars and modern applications, as it is considered as a finite set of cases, in which the cases are related to a certain probability distribution. This research aims to estimate the parameters of the CIR and SABR models using Bayesian particle filtering methods. In this research, he reviewed hidden Markov models and methods of Bayes estimators, and one of the basic methods used in Bayes estimators is the particle filtering method. The practical side of this research dealt with two aspects, namely the experimental side and the applied side. In the experimental side, the particle filtering method was used. In the simulation experiment and for three levels of samples (small, medium and large) and different sizes, by selecting the lowest value to watch the CIR model at different times, in addition to determining the initial value, determining or creating the random error from a specific distribution, and calculating the estimates of the parameters of the CIR and SABR models depending on On the method of the greatest possibility in determining the parameters of the model (σ, β, α) in order to build or generate random processes with random variables that follow the normal distribution, and then draw these generated variables with graphics or shapes to obtain the best results, as well as the experimental side was applied The practical aspect applied to the financial statements of the Iraq Stock Exchange for different years. The study concluded that the particle filtering fluctuations for CIR and SABA estimation were always greater than zero, which is considered the basic condition for estimation.

Keywords: particle filtering, hidden Markov models.

1. المقدمة:

ان نماذج ماركوف المخفية (HMMs) هي نماذج تصادفية ظهرت في اواخر السبعينيات وبداية السبعينيات من القرن العشرين ، قدمت في الاصل من قبل العالمين (Baum and Petrie) في عام 1966 ، ويعبر عن نماذج ماركوف المخفية بالصيغة $\lambda = (A, B, \Pi)$ ، إذ ان A هي مصفوفة احتمال انتقال الحالة ، B هي مصفوفة احتمالية الرابط بين الحالات المخفية والمشاهدات ، Π هي متوجه توزيع الحالة الابتدائية ، وت تكون نماذج ماركوف المخفية من ثلاثة مسائل اساسية هي (مسألة التقويم ، مسألة حل الشفرة ومسألة التدريب) في بحثنا هذا سنقوم بتقدير معلم انموذج CIR و SABR كنماذج ماركوف المخفية باستخدام طريقة تصفيية الجسيمات (particle filtering) والتي تعتبر اهم الطرائق لتقدير المعلم .

2. منهجية البحث:

2.1 مشكلة البحث:

عدم وجود تقديرات لمعامل انموذج CIR و SABR يأخذ بنظر الاعتبار المعلومات السابقة عن هذه المعلمات .

2.2 هدف البحث:

يهدف الى تقدير معلمات انموذج CIR و SABR باستعمال الطرائق البيزية في التقدير وفقاً لأسلوب تصفيية الجسيمات (particle filtering) .

الجانب النظري:

سوف يتم التطرق الى بعض امثلة من نماذج ماركوف المخفية وطرائق التقدير وكما يلي :

3. نماذج ماركوف المخفية [1]

ان عملية ماركوف تطلق على العمليات التصادفية ، وفي هذا الانموذج يكون احتمال الانتقال الى حالة معينة في المستقبل يعتمد فقط على حالتها في الحاضر ولا يعتمد على حالتها في الفترات الزمنية السابقة ، ويطلق على عملية ماركوف بسلسلة ماركوف عندما يكون فضاء المعلومة (الزمن) متقطع .

حيث ان كلمة المخفي في انموذج ماركوف المخفي تشير الى سلسلة ماركوف وليس الى معلمات الانموذج ، اذ يعبر عن نماذج ماركوف المخفية بالصيغة الآتية:

$$\lambda = (A, B, \pi)$$

حيث ان A : تمثل مصفوفة احتمال انتقال الحالة .

B تمثل مصفوفة احتمالية رابطة بين الحالات المخفية والحالات المشاهدة.

π تمثل متوجه توزيع الحالة الابتدائية ، حيث ان $[\pi_j] = \pi$ وهو احتمال ان يبدأ j النظام من الحالة j

وهنالك ثلاثة حالات رئيسية يجب التعامل معها لصياغة انموذجات ماركوف المخفية وهي (حالة التقييم ، حالة فك التشفير ، وحالة التدريب). وان انموذج ماركوف المخفي يتكون من عمليتين عشوائيتين وهما:

العملية العشوائية الاولى:

هي سلسلة ماركوف التي تتميز بوجود الحالات والاحتمالات الانتقالية ، حيث ان هذه الحالات تكون غير مرئية او مشاهدة ولها السبب سميت مخفية .

العملية العشوائية الثانية:

وتعتمد على التوزيع الاحتمالي للحالات (كل حالة تقترن بتوزيع احتمالي) .

ولتقدير نماذج ماركوف المخفية نحتاج الى التعرف على طرائق مقدرات بيز

:^{[8][7]}**Cox-Ingersoll-Ross model .4**

تم اقتراح نموذج Cox-Ingersoll-Ross (CIR) أو كما يسمى انموذج سعر الفائدة (interest rate model) من قبل العلماء (S.A Ross و J.E Ingersoll و J.C Cox) في عام 1985 (لحل مشكلة تسعير السندات ذات القسمية الصفرية بخصوص مع آجال استحقاق مختلفة في ظل ظروف عدم الموازنة (no-arbitrage) ، وذلك من خلال افتراض أن تطور معدل سعر الفائدة الأساسي على المدى القصير هو حل وحيد لعملية الانتشار (diffusion process) للمعادلة التفاضلية العشوائية (SDE) وكالاتي:

$$dr_t = \alpha(\mu - r_t)dt + \sigma\sqrt{r_t}dW_t \quad \dots \dots \dots (1)$$

مع العلم ان الحالة الأولية $r(0) = r_0$ هي تمثل عملية وينر (Wiener process) . وان $\{W_t = W(t)\}_{t \geq 0}$ هي تمثل عملية معدل الفائدة (the interest rate process) تسمى CIR أو عملية الجذر التربيعي (square root process) .

وأن α و μ و σ هما معلمات ، اذ ان α تمثل سرعة الارتداد (the speed of adjustment) لل المتوسط μ الذي هو متوسط طويل المدى ، ومعدل تقلب (volatility rate) لـ σ . اذ ان الحل الوحيد للمعادلة رقم (1) ^[7] تُعرف أيضاً باسم عملية CIR

$$r_t = r_s + \int_s^t \alpha(\mu - r_u)du + \sigma \int_s^t \sqrt{r_u}dW_u \quad s < t$$

وبالتالي فأن القيمة المتوقعة :

$$E[r_t/r_s] = r_s + \int_s^t \alpha(\mu - E[r_u/r_s]) du \quad s < t$$

حيث ان $m_t = E[r_t/r_s]$ ، وان:

$$\frac{d}{dt}m_t = \alpha(\mu - m_t) \quad s < t$$

وعليه فأن القيمة المتوقعة لـ r_t عندما تكون r_s معلومة هي:

$$E[r_t/r_s] = m_t = r_s e^{-\alpha(t-s)} + \mu(1 - e^{-\alpha(t-s)}) \quad s < t$$

وبالمثل يمكن اثبات ان التباين يكون كالاتي:

$$Var[r_t/r_s] = \frac{r_s \sigma^2}{\alpha} \left(e^{-\alpha(t-s)} - e^{-2\alpha(t-s)} + \frac{\mu \sigma^2}{2\alpha} (1 - e^{-\alpha(t-s)})^2 \right)$$

وبالتالي فأن انموذج ماركوف المخفي هو :

$$X_{t+1} = X_t + (\theta_1 - \theta_2 X_t) \Delta \theta_t + \theta_3 \sqrt{X_t} dw_t$$

$$Y_t = \emptyset X_t + \sigma u_t$$

حيث ان Δt تمثل الفرق بين الاذمنة ، وان \emptyset_1 و \emptyset_2 و \emptyset_3 و Φ و σ تمثل معالم النموذج

$$\Delta w_t \sim N(0, \Delta)$$

$$u_t \sim N(0, \Delta)$$

:^{[5][4]}The stochastic alpha beta rho model (SABR)⁵

هو نموذج تقلب عشوائي للأسعار الآجلة (forward prices) المستعملة بشكل شائع في نمذجة مشتقات أسعار الفائدة (interest rate). وان ألفا وبيتا ورو (alpha, beta and rho) هي معلمات يجب قياسها. اذ يصف الفا Alpha حجم التقلب في سعر الأصل الأساسي (the price of the underlying asset)؛ ويصف بيتا Beta حساسية تحركات الأسعار الآجلة للسعر الفوري (the forward price)؛ وان رو rho يصف العلاقة بين التحركات في السعر الآجل (the price of the underlying asset) والتحركات في تقلب سعر الأصل الأساسي (the forward price).

ان نموذج SABR يحاول التقاط ديناميكيات سعر آجل واحد (single forward prices)، حيث ان هذا السعر الآجل يمكن ان يكون هو LIBOR الآجل ، وسعر المقايسة الآجلة (forward swap prices) ، والعائد الآجل على السندي (forward yield on a bond). وان نموذج SABR يعد امتداداً لنموذج CEV كالاتي:

$$dF(t) = \sigma F(t)^\beta dW(t) \dots \dots \dots \quad (2)$$

اذ أن σ هو معلمة التقلب (the volatility parameter) و المسمى β -volatility

يتم الحصول على الديناميكيات الكاملة لنموذج SABR من خلال المعادلتين الآتيتين:

$$dF(t) = \sigma(t) C(F(t))^\beta dW(t)$$

$$d\sigma(t) = \alpha \sigma(t) dZ(t) \dots \dots \dots \quad (3)$$

حيث ان $F(t)$ و $\sigma(t)$ تمثل عملية السعر الآجل و التقلب ((the forward rate process and volatility تمثل عملية وينر (Wiener processes) او تمثل حركات بروانية قياسية BM (Brownian motions)) واللتان ترتبطان بشكل عام بـ r كما في المعادلة الآتية:

$$E[dW(t)dZ(t)] = rdt \dots \dots \dots \quad (4)$$

حيث ان r يمثل معامل ارتباط ثابت ، وتم افتراضه في بحثنا هذا مساوياً الى الصفر.

اذ ان هنالك حالة خاصة للمعادلة (3) التي لها دور مهم في التحليل ، والحالة هي عندما $C(F(t))=1$ و $r=0$ ، ففي هذه الحالة يكون للمعادلات الأساسية للحركة (motion) شكل بسيط وكالاتي:

$$dF(t) = \sigma(t) dW(t)$$

$$d\sigma(t) = \alpha \sigma(t) dZ(t) \dots \dots \dots \quad (5)$$

$$E[dW(t)dZ(t)] = 0$$

حيث يشار الى النموذج اعلاه في المعادلة (5) بأنموذج SABR العادي (the normal SABR model) وأن معامل الانتشار (F) يفترض ان يكون من النوع ثابت مرونة التباين (constant-elasticity-of-variance) CEV [4]:

$$C(F) = F^\beta \quad \dots \dots \dots (6)$$

حيث ان $0 \leq \beta < 1$

فعلى افتراض أنه تم اختيار عدد مناسب من (t) F بحيث يكون التوقع الشرطي للقيمة التالية مساوٍ لقيمة الحالية بغض النظر عن جميع القيم السابقة مارتينجال (martingale) ، والعملية (t) σ هي المكون العشوائي لنقلب (F(t) ، والثابت α المعروف باسم volvol ، هو التقلب اللوغاريتمي الطبيعي لـ (t) σ . اذ ان الديناميكيات تكمل بالشرط الأولي (the initial condition) كالاتي: [5][4]:

$$F(0) = F^0$$

$$\sigma(0) = \sigma^0 \quad \dots \dots \dots (7)$$

اذ ان F^0 تمثل القيمة الحالية للأمام (the current value of the forward) ، و σ^0 تمثل القيمة الحالية (the current value) لـ (beta-volatility) β .

باستثناء الحالة الخاصة الموجودة في المعادلة (5) عندما $\beta = 0$ ، لا يوجد لها حل واضح معروف لهذا النموذج. اذ يمكن حل الحالة العامة تقريرياً عن طريق توسيع مقارب في المعلمة الآتية: [4]:

$$\varepsilon = \alpha\sqrt{T} \quad \dots \dots \dots (8)$$

حيث ان T تمثل وقت استحقاق الاختيار (the time-to-maturity of the option). وأن SABR هو نموذج أمامي فردي ، وإن وقت انتهاء صلاحية الاختيار T يحدد مقياساً زمنياً طبيعياً للمشكلة. اذ ان $t = T_s$ ، تعرف كالاتي: [4]:

$$X(s) = F(T_s)$$

$$Y(s) = \frac{\sigma(T_s)}{\alpha} \quad \dots \dots \dots (9)$$

وان صياغة ديناميكيات SABR تعاد كتابتها بالشكل الآتي: [4]:

$$dX(t) = \varepsilon Y(t) C(X(t)) dW(t)$$

$$dY(t) = \varepsilon Y(t) dZ(t) \quad \dots \dots \dots (10)$$

فبعد استعمال قانون القياس المعروف جيداً $W(T_s) = \sqrt{T}W(s)$ للحركة البراونية. فإن الشروط الأولية تأخذ النموذج الآتي:

$$X(0) = F^0$$

$$Y(0) = \frac{\sigma^0}{\alpha} \quad \dots \dots \dots (11)$$

ويمكن دراسته على شكل نموذج ماركوف المخفي ، ولقد تم دراسة النموذج بشكل مخفي كالاتي:

$$F_t = F_{t-1}^\beta + \sigma_t F_{t-1} \Delta w_{1,t}$$

$$\sigma_t = \sigma_{t-1} + \alpha \Delta w_{2,t}$$

Style Bay's

6. اسلوب بيز [6][3]:

تعتمد النظرية البيزية في اسلوبها وتحليلها واستنتاجاتها على المعلومات التي توفرها المشاهدات (العينات) فضلاً عن المعلومات التي تأتي من الاعتقاد الشخصي والتي تدعى بالمعلومات الأولية (Prior Information) وان المدرسة البيزية تتميز عن المدرسة التقليدية بأنها تعامل المعلومات في التوزيعات الاحتمالية كمتغيرات عشوائية لها توزيع احتمالي.

يركز اسلوب بيز في التقدير على المعلمة θ التي هي كمية غير معروفة ، حيث ان المعلمة لها قيمة فعلية ولكن غير معروفة المعالم وبالتالي فهي قيمة عشوائية ، وعلى التوزيع السابق $P(\theta)$ الذي ينص على عدم المعرفة الأولية بشأن المعلمة ، حيث ان التوزيع السابق يتم انشاؤه بواسطة تحليل وقياس المعلومات التاريخية والمعرفة والمعتقدات المؤهلة ، للحصول على مزيد من المعلومات حول المعلمة ، وان جمع بيانات المعالم $D = (x_1, x_2, \dots, x_n)$ للدالة المشتركة من $P(D|\theta)$ تدعى دالة الاحتمال (likelihood) . ويرمز له بـ $P(D|\theta)$ (function)

اما لحساب التوزيع اللاحق (Posterior distribution) الذي ينص على تحديث عدم المعرفة الأولية $P(\theta|D)$ في ضوء المعلومات الجديدة ، وان التوزيع اللاحق نستطيع إيجاده بتطبيق نظرية بيز المعروفة (Bay's Theorem) وهي:

$$P(\theta|D) = \frac{P(\theta)P(D|\theta)}{P(D)} = \frac{P(\theta)P(D|\theta)}{\int P(\theta)P(D|\theta) d\theta} \propto P(\theta)P(D|\theta)$$

او

$$\text{Equivalently Posterior} = \frac{\text{Prior} \times \text{liklehood}}{\text{constant}} \propto \text{Prior} \times \text{liklehood}$$

ومن احدى الطرق الاساسية التي تستخدم في مقدرات بيز هي طريقة تصفيية الجسيمات (Particle Filtering).

Particle Filter (PF)

7. ترشيح او تصفيية الجسيمات [2]

تبدأ الخوارزمية بعينة مونت كارلو $\{B_t\}$ ، ثم يتم تحديث B_t بشكل متكرر في عينة مونت كارلو $\{B'_t\}$ من التوزيع السابق $P(\theta_t|D_{t-1})$. ثم عينة مونت كارلو $\{h_t\}$ من الجزء اللاحق في الوقت t . بمعنى آخر ، يتم دفع عناصر B_t ("الجسيمات") من خلال سلسلة من خطوات التحديث لتوليد عينات مونت كارلو المرغوبة من f_t . ان المفتاح الرئيسي هي تمثيل h_t كتلافي (as a convolution) h_{t-1} . ونموذج الانتقال ك

$$h'_t = h(\theta_t/D_{t-1}) = \int p(\theta_t/\theta_{t-1}) d\theta_{t-1} \quad \dots \dots \dots (12)$$

حيث ان $\tilde{h}_t \equiv h(\theta_t/D_{t-1})$ يمثل التوزيع السابق عند الوقت t .

والتحديث اللاحق

$$h_t(\theta_t) = h(\theta_t/D_t) \propto h'_t(\theta_t) f(y_t/\theta_t) \quad \dots \dots \dots (13)$$

حيث ان $h_t \equiv h(\theta_t/D_t)$ تمثل اللاحق عند الوقت t .

بدلاً من إنشاء عينات مونت كارلو من التوزيعات المستهدفة ، تقوم الخوارزمية بإنشاء عينات مونت كارلو من كثافات أخذ العينات المهمة مع الأوزان المقابلة $W_t = \{w_{ti}, i = 1, 2, \dots, M\}$. ولتكن $W'_t = \{w'_{ti}, i = 1, 2, \dots, M\}$. و $w'_{ti} = h'_t(\theta_{t,i}) / \hat{h}'_t(\theta_{t,i})$ و $w_{ti} = h_t(\theta_{t,i}) / \hat{h}_t(\theta_{t,i})$. ثم $\hat{h}'_t(\theta_{t,i}) \approx h'_t(\theta_{t,i})$ و $\hat{h}_t(\theta_{t,i}) \approx h_t(\theta_{t,i})$. والنكمات اللاحقة فيما يتعلق بالتوزيعات المستهدفة يمكن أن تكون تقريباً كالتالي:

$$\int g(\theta_t)h(\theta_t/D_t)d\theta_t \approx \frac{1}{\sum w_{ti}} \sum_{i=1}^M w_{ti}g(\theta_{t,i})$$

مع متوسط مونت كارلو الذي يمثل جميع الجسيمات $\theta_{t,i} \in B_t$ ، وهذا يسمح لنا بتقريب h'_t باستخدام التمثيل من المعادلة (12) كالتالي:

$$h'_t(\theta_t) \approx \hat{h}'_t(\theta_t) = \frac{1}{\sum w_{ti}} \sum w_{t-1,i} p(\theta_t/\theta_{t-1,i}) \quad \dots \dots \dots (14)$$

يمكن بعد ذلك أن يستمر مرشح الجسيمات الأساسي على النحو التالي. على افتراض أن B_{t-1} و W_{t-1} متاحان. فولاً ، يتم توليد B'_t عن طريق أخذ عينات من $\hat{h}'_t(\theta_t)$ ، وذلك كالتالي:

(1) أخذ العينات $W_{t-1,i}$ من B_{t-1} مع احتمالات تتناسب مع $W_{t-1,i}$

(2) القيام بإنشاء $\theta'_{t,i} \sim p(\theta'_t/\theta_{t-1,i})$ والقيام بتسجيل الأوزان $w'_{ti} = 1/M$

(3) واخيراً تحديد B_t عن طريق ضبط $\theta'_{t,i} \equiv \theta'_{t,i}$ و $w_{ti} \propto f(y_t/\theta_{t,i})$ بما يتناسب مع عامل الامكان الاعظم لـ y_t .

هذه هي فكرة مرشح الجسيمات للمتغير الإضافي ، باستثناء أنه من خلال الجمع بين الخطوتين (1) و (3) ، تجعل الخوارزمية أخذ العينات أكثر كفاءة. على حسب المعادلة (14) ، نحدد:

$$h_t \approx \hat{h}_t \propto \sum_i w_{t-1,i} f(y_t/\theta_t) p(\theta_t/\theta_{t-1,i}) \quad \dots \dots \dots (15)$$

تقريب مونت كارلو لـ h_t ، بالاعتماد على B_{t-1} و W_{t-1} . وذلك بـ:

(1) زيادة $\hat{h}_t(\theta_t)$ إلى نموذج مشترك

(2) تقريب $\hat{h}_t(\theta_t)$ $\approx g(\theta_t, i)$ بـ $\hat{h}_t(\theta_{t,i})$ في y_t/θ_t بواسطة

(3) القيام بإنشاء $g(\theta_t, i) \sim p(\theta_t/\theta_{t-1,i})$ واستخدام أوزان $w_{t,i} = f(y_t/\theta_{t,i}) / f(y_t/\mu_{t,i})$

ان الميزة الرئيسية للخوارزمية هي كالتالي:

1. زيادة $\hat{h}_t(\theta_t)$ في المعادلة (15) إلى

$$\hat{h}_t(\theta_t, i) \propto w_{t-1,i} f(y_t/\theta_t) p(\theta_t/\theta_{t-1,i})$$

2. استبدل التقريب $\hat{h}_t(\theta_t, i) \approx g(\theta_t, i)$ ، باستخدام $\mu_{ti} = E(\theta_t/\theta_{t-1,i})$ ، للحصول على $w_{t,i} = f(y_t/\mu_{t,i}) \approx f(y_t/\theta_{t,i})$

... (16)

ليكن $g(i) \propto w_{t-1,i} f(y_t/\mu_{t,i})$ ترمز إلى تطبيق الحدية $g(i)$ من i إلى $g(i)$ للحصول على $g(i) \sim p(\theta_t/\theta_{t-1,i})$

3. تسجيل الوزن $\theta_{t,i} / i \sim p(\theta_t/\theta_{t-1,i})$

$$w_{ti} = \frac{\hat{h}(\theta_{t,i}, i)}{g(\theta_{t,i}, i)} = \frac{f(y_t/\theta_{t,i})}{f(y_t/\mu_{t,i})}$$

الجانب التجربى والتطبيقي:

8. الجانب التجربى

8.1 المقدمة عن مفهوم المحاكاة : **Introduction Simulation Concept**

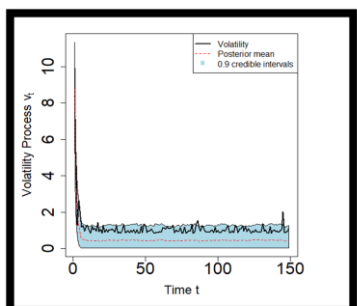
ان المنهج التجربى (Empirical Approach) يعد من المناهج العلمية التي لها جذور واساس في التاريخ الانسانى القديم ، ونظرًا للسرعة الفائقة التي توفرها البرامج الالكترونية بمختلف انواعها من حزم جاهزة ، دفع اغلب الباحثين بمختلف تخصصاتهم الى اعتماد اسلوب المحاكاة (Simulation) لغرض تطبيق الطرائق الخاصة بالنموذج المدروس والمتمثل بنماذج ماركوف المخفية ، اذ تعرف المحاكاة بأنها طريقة تحليلية عدبية علمية تحاول استعمال مناهج وأساليب رياضية منهجية ، وذلك لغرض ايجاد صورة طبق الاصل من أي نموذج من دون الرجوع الى اخذ ذلك النموذج ، كما وان اسلوب المحاكاة يستخدم عادة لوصف سلوك نظام حركي معين عن طريق تطبيق تجارب تكون مماثلة وملائمة ومقاربة للنموذج الحقيقى والواقعي الموجود اصلا.

ففي هذا الجانب سيتم توليد متغيرات الاخطاء العشوائية والخاضعة للتوزيعات التي من خلالها يتم ايجاد متغير السلسلة لنماذج ماركوف المخفى ومن ثم اتباع مقدر بيز لتقدير معالم نماذج ماركوف المخفى ، وكما تم ذكره في الجانب النظري.

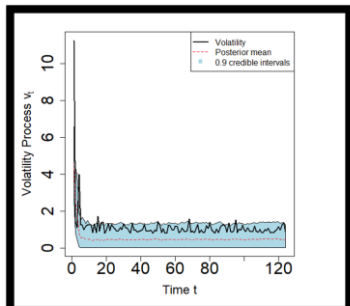
8.2 مخطط بناء تجربة المحاكاة

لغرض تشغيل النموذج باستخدام اسلوب المحاكاة استخدمنا المعلومات الالكترونية باستخدام البرمجة بلغة (R) ، اذ لابد من تحديد اهم العوامل الخاصة لمراحل بناء تجارب المحاكاة ، وذلك لغرض تحليل البيانات تم تحديد حجم العينات بأربعة حجوم للعينات (صغرى ، متوسطة ، كبيرة) وهي (N=100, 125,150) على التوالي ، ولغرض تشغيل نموذج Partical filtering لنموذج CIR تم تحديد اقل قيمة لمشاهدة نموذج CIR والتي تبدأ من (Ft=1) والأوقات زمنية تصل الى (t=20) بقيمة اولية تساوي (y=0.02) لحجم عينة (N=50) ، وتحديد معلمات النموذج بـ ($\alpha=1.25$ و $\beta=0.25$ و $\sigma=1.5$) . اذ ان التغير بالزمن ($dw = \frac{T}{N}$) ، ثم اجرينا عملية التوليد وذلك باضافة حد المتغير العشوائي الذي يولد من توزيع طبيعي موجب بمتوسط يساوي (صفر) وتبين يساوي (5) ، اي ان $y \sim rnorm(0,5)$.

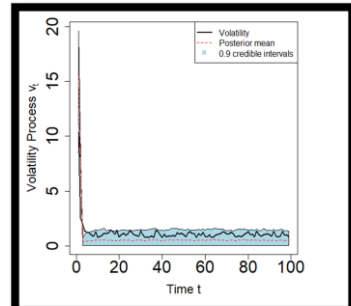
اذ قدرنا معلمات النموذج اعلاه باستخدام دالة الامكان الاعظم (Maximum likelihood function) ، ومن بعد ذلك تم توظيف هذه المقدرات باستخدام MCMC حيث كان عدد الدورات (100000) دوره وتم استخدام قيم ابتدائية وهي عندما (T=20) ، اذ كانت النتائج كالتالي:



الشكل 1
تقديرات Partical filtering لمودج CIR المخفي



الشكل 2
تقديرات Partical filtering لمودج CIR المخفي

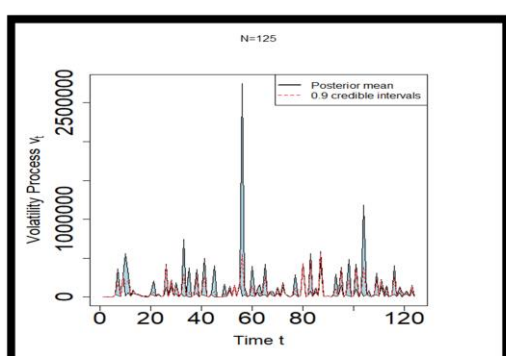


الشكل 3
تقديرات Partical filtering لمودج CIR المخفي

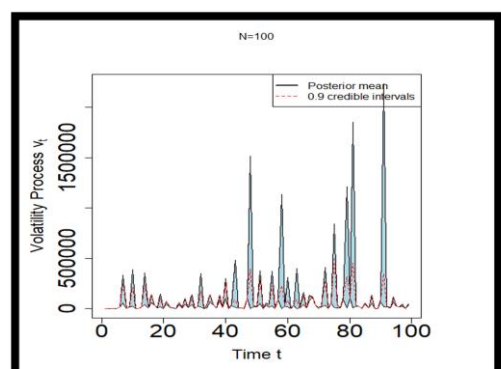
في الشكل (1) والشكل (2) والشكل (3) لأحجام العينة المختلفة وهي عندما ($N=100$ و $N=150$ و $N=200$) على التوالي، يتكون من عمليات التقلب (volatility Process) مع الزمن (Time)، اذ يلاحظ بأن عمليات التقلب بقيت دائما اكبر من الصفر وهذا هو الشرط الاساسي للتقدير.

ولغرض تشغيل نموذج Partical filtering لنموذج SABR استخدمنا المعلومات الآتية: اذ اعطينا للمعلم $\alpha=0.2$ و $\sigma=0.75$ ، والزمن الاول ($T_1=10$) والزمن الثاني ($T_2=5$) وحجم العينة ($N=100$)، اذ ان التغير بالزمن الاول ($dw_1 = \frac{T_1}{N} dw_2$) والتغير بالزمن الثاني ($dw_2 = \frac{T_2}{N}$) ، ثم اجرينا عملية التوليد وذلك باضافة حد المتغير العشوائي الذي يولد من توزيع طبيعي موجب بمتوسط يساوي (واحد) وتباين يساوي (3)، وبالنسبة لـ σ تولد ايضا من التوزيع الطبيعي الموجب بمتوسط يساوي (2) وتباين يساوي (5) ، ومن بعد عملية التوليد قمنا بالاجراءات الآتية:

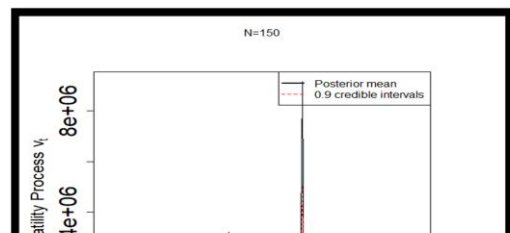
اذ قدرنا معلمات النموذج اعلاه باستخدام دالة الامكان الاعظم (Maximum likelihood function) ، علماً ان المتوسط لنموذج الاول (حد المتغير العشوائي) يساوي (صفر) ومتوسط النموذج الثاني (σ) يساوي (صفر) ايضا . ومن بعد ذلك تم توظيف هذه المقدرات باستخدام MCMC حيث كان عدد الدورات (10000) دوره وتم استخدام قيم ابتدائية وهي عندما ($T_2=5$ ، $T_1=10$ ، $N=100$) ، اذ كانت النتائج كالتالي:



الشكل 4: تقديرات Partical filtering لمودج SABR المخفي



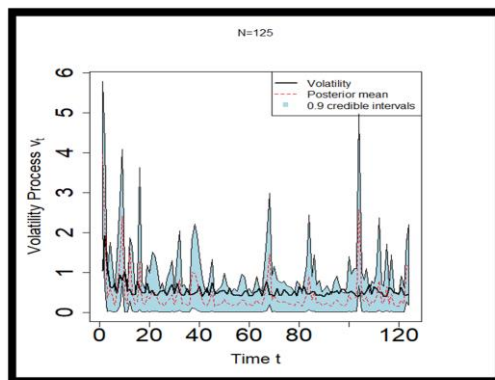
الشكل 5: تقديرات Partical filtering لمودج SABR المخفي



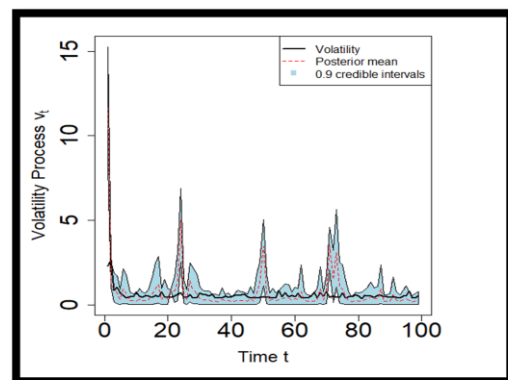
في الشكل (4) والشكل (5) والشكل (6) لأحجام العينة المختلفة وهي عندما ($N=100$ و $N=150$ و $N=200$) على التوالي، يتكون من عمليات التقلب (volatility Process) مع الزمن (Time)، اذ يلاحظ بأن عمليات التقلب بقيت دائما اكبر من الصفر وهذا هو الشرط الاساسي للتقدير.

9. الجانب التطبيقي

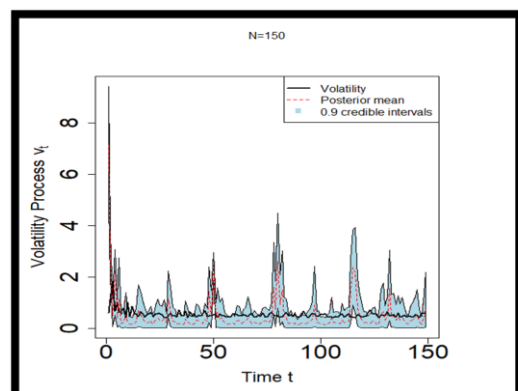
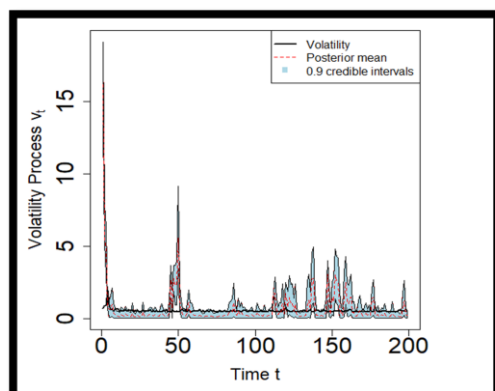
للوصول الى حقيقة التقدير ودقته ، تم اعتماد احد البيانات المالية كجانب تطبيقي. اذ تم الحصول على البيانات المالية من سوق الاوراق المالية IXS 86 ، وتم سحب عينة حجمها (714) عينة للفترة الزمنية (2017-2019) ، ولقد تم اولاً اختيار 100 عينة من اصل 714 ، من ثم اختيار 125 ، 150 ، وبعد ذلك تم اخذ جميع البيانات كاملة ، وكانت النتائج كالتالي:



الشكل 8: تقديرات Partical filtering لنموذج CIR المخفي للبيانات الحقيقة

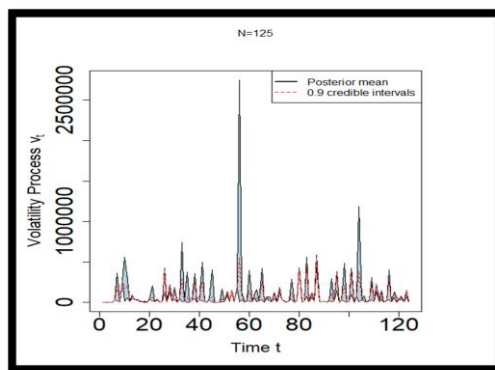


الشكل 7: تقديرات Partical filtering لنموذج CIR المخفي للبيانات الحقيقة

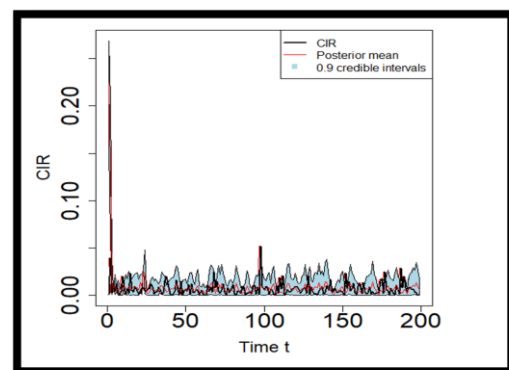


في الشكل(7) والشكل (8) والشكل(9) والشكل(10) للاحجام الاخرى المختلفة ولحجم العينة (714) على التوالي ، يتكون من عمليات التقلب (volatility Process) مع الزمن (Time)، اذ يلاحظ بأن عمليات التقلب بقيت دائما اكبر من الصفر وهذا هو الشرط الاساسي للتقدير.

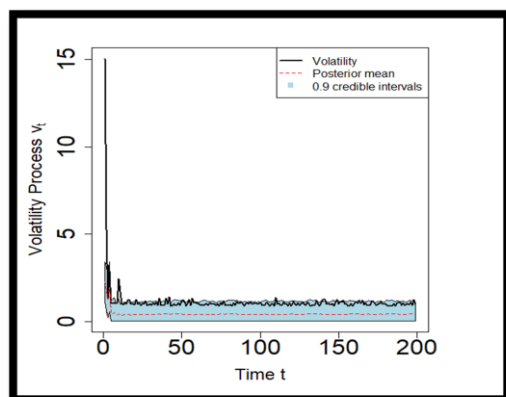
ولغرض تشغيل نموذج SABR ، تم الحصول على النتائج الآتية :



الشكل 12: تقدیرات Partical filtering لنمودج SABR المخفی للبيانات الحقيقة

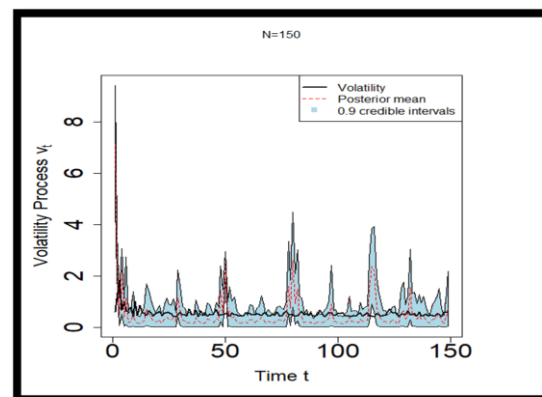


الشكل 11: تقدیرات Partical filtering لنمودج SABR المخفی للبيانات الحقيقة



422

الشكل 14: تقدیرات Partical filtering لنمودج SABR المخفی للبيانات الحقيقة



الشكل 13: تقدیرات Partical filtering لنمودج SABR المخفی للبيانات الحقيقة

في الشكل(11) والشكل (12) والشكل(13) والشكل(14) للاحجام الاخرى المختلفة ولحجم العينة (714) على التوالي، يتكون من عمليات التقلب (volitility Process) مع الزمن (Time)، اذ يلاحظ بأن عمليات التقلب بقيت دائما اكبر من الصفر وهذا هو الشرط الاساسي للتقدير.

10. الاستنتاجات والتوصيات

10.1 الاستنتاجات

- 1) نستنتج من خلال المقارنة بين نموذجي CIR و SABA باستخدام طرائق التقدير ، بأن نموذج SABA هو الافضل في التقدير لأن من خلاله تم الحصول على اقل قيم لتقدير المعلمات .
- 2) في تصفية الجسيمات تم تقدير عملية Partical filtering تم تقدير عملية CIR و SABA ، حيث وجد ان عمليات التقلب فيما بينها بقيت دائما اكبر من الصفر الذي هو يعتبر الشرط الاساسي للتقدير ، وهمما الافضل في التقدير .

10.2 التوصيات

- 1) استعمال نماذج اخرى غير نموذجي CIR و SABA عند تطبيق البيانات لتقدير المعامل.
- 2) استعمال طريقي MLE و MCMC لنموذج ماركوف المخفية ذات الاكثر تعقيد ، وتطبيقاتها في جوانب تطبيقية اخرى كالجوانب الاجتماعية او الاقتصادية او الطبية.

المصادر

- 1) Dymarski, Przemyslaw, ed.,(2011) "Hidden Markov models: Theory and applications", BoD–Books on Demand.
- 2) GERMAIN, Sarah Elizabeth,(2010) " Bayesian spatio-temporal modelling of rainfall through non-homogenous hidden Markov models", PhD Thesis, Newcastle University.
- 3) Ghosh,Jayantak,Delampady,Mohan,Samanta,Tapas,(2006)"An Introduction to Bayesian Analysis Theory and Method", Springer.
- 4) Hagan, Patrick, and Andrew Lesniewski,(2008) "LIBOR market model with SABR style stochastic volatility" , JP Morgan Chase and Ellington Management Group 32 :57.
- 5) Hagan, Patrick, Andrew Lesniewski, and Diana Woodward,(2015) "Probability distribution in the SABR model of stochastic volatility", Springer Proceedings in Mathematics & Statistics , Cham, 1-35.
- 6) Ida kjersem, (2009) " Bayesian Forecasting and dynamic models applied to strain data from the Gotariver bridge", Faculty of mathematics and natural sciences , university of Oslo .
- 7) Miao,zan, (2018) "CIR Modeling of Interest Rates", Linnaeus University, Department of Mathematics,.

- 8) Orlando, Giuseppe, and Michele Bufalo,(2021) "Interest rates forecasting: Between Hull and White and the CIR#—How to make a single-factor model work", Journal of Forecasting 40.8 ,1566-1580.